

ТЕОРИЯ ОДНОМЕРНОГО КВАНТОВОГО НАСОСА НА ОСНОВЕ ДВУХБАРЬЕРНОЙ СТРУКТУРЫ

*Л. С. Брагинский, М. М. Махмудиан, М. В. Энтин**

*Институт физики полупроводников Сибирского отделения Российской академии наук
630090, Новосибирск, Россия*

Поступила в редакцию 10 января 2005 г.

Рассматривается одномерный квантовый насос на основе структуры из двух δ -функциональных гармонически колеблющихся потенциалов. Такая структура обладает свойством перекачивать электроны с одного берега на другой. При этом под действием переменного возмущения возникает стационарный ток. Эффект требует пространственной асимметрии системы. Последняя достигается за счет различия исходной высоты барьера, а также амплитуды или фазы переменных сигналов. В зависимости от параметров имеется большое разнообразие режимов работы насоса. Показано, что ток испытывает осцилляции с периодом, соответствующим кратности длины волны падающих либо возбужденных электронов расстоянию между δ -функциями. Исследованы резонансы на квазистационарных состояниях между барьерами, на нулевой энергии и со стационарными состояниями (в случае ям).

PACS: 72.40.+w, 73.50.Pz

1. ВВЕДЕНИЕ

Квантовый насос представляет собой прибор, генерирующий постоянный ток при нулевом смещении. Причиной возникновения тока является переменное внешнее поле, позволяющее локально менять параметры системы.

Квантовый насос, в сущности, аналогичен различным вариантам фотогальванического эффекта, достаточно подробно изучавшимся в основном в отечественной литературе, начиная с 80-х годов [1–4]. Различие состоит в том, что под фотогальваническим эффектом чаще понимают появление постоянного тока в однородной макроскопической среде (исключение составляет мезоскопический фотогальванический эффект), в то время как под насосом понимают объект микроскопических размеров. С точки зрения феноменологии, ничего необычного в появлении постоянного тока в насосе нет — в принципе любой асимметричный микроконтакт может выпрямлять переменное напряжение. Однако рассмотрение адиабатического транспорта в квантовом объекте приводит к новому явлению — квантованию транспорта заряда [5].

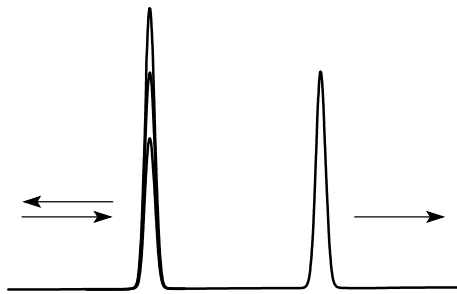


Рис. 1. Квантовый насос на основе симметричной структуры из двух δ -барьеров, первый из которых осциллирует. Параметры $u_1 = u_2$, $v_2 = 0$

В последнее время произошел бурный всплеск числа теоретических [6–16] и экспериментальных [17–20] работ, посвященных физике квантовых насосов. Важную роль квантовые насосы играют в биологии: механизм Таулесса применялся к объяснению активного переноса ионов через клеточную мембрану [21].

В настоящей работе в качестве модели насоса мы будем рассматривать одномерную систему с потенциалом (рис. 1)

$$U(x) = [u_1 + v_1(t)]\delta(x+d) + [u_2 + v_2(t)]\delta(x-d), \quad (1)$$

*E-mail: entin@isp.nsc.ru

где $2d$ — расстояние между дельтаобразными барьераами (ямами), величины u и v измеряются в единицах \hbar^2/md (m — масса электрона), импульс p — в единицах \hbar/d , энергия E — в единицах $\hbar^2/2md^2$, частота — в единицах $\hbar/2md^2$. При положительных значениях u_1 и u_2 в отсутствие переменного сигнала система содержит два барьера, при отрицательных — две ямы. Предполагается, что в областях $x < -d$ и $x > d$ электронный газ равновесен, а функции распределения одинаковы. Будем предполагать, что переменный сигнал является гармоническим:

$$v_1(t) = v_1 \sin \omega t, \quad v_2(t) = v_2 \sin(\omega t + \varphi).$$

Задача заключается в нахождении постоянного тока, вызванного переменным полем. Такая модель использовалась, в частности, в работе [22], но не была подробно исследована. Между тем рассматриваемый потенциал, несмотря на свою простоту, из-за наличия четырех входящих независимых параметров приводит к большому разнообразию возможных поведений решения.

Целью настоящей работы является подробное ис-

следование различных режимов работы электронного насоса.

Постоянный ток может возникать только при асимметрии системы. Для этого должно быть выполнено хотя бы одно из условий $u_1 \neq u_2$, $v_1 \neq v_2$ и $\varphi \neq 0$. Макроскопическими аналогами этих случаев выступают, соответственно, линейный фотогальванический эффект в полярной среде (причина — наличие в среде полярного вектора, аналог — выделенное направление от первого барьера ко второму), поверхностный фотогальванический эффект (причина — неоднородность электромагнитного поля, аналог — отличие v_1 от v_2) и циркулярный фотогальванический эффект (причина — сдвиг фазы между разными декартовыми компонентами поляризации, здесь — сдвиг фазы между $v_1(t)$ и $v_2(t)$).

2. ОСНОВНЫЕ УРАВНЕНИЯ

Решение уравнения Шредингера с потенциалом (1) будем искать в виде

$$\psi = \sum_n \exp[-i(E + n\omega)t] \begin{cases} \delta_{n,0} \exp\left(\frac{ip_n x}{d}\right) + r_n \exp\left(-\frac{ip_n x}{d}\right), & x < -d, \\ a_n \exp\left(\frac{ip_n x}{d}\right) + b_n \exp\left(-\frac{ip_n x}{d}\right), & -d < x < d, \\ t_n \exp\left(\frac{ip_n x}{d}\right), & x > d. \end{cases} \quad (2)$$

Здесь $p_n = \sqrt{p^2 + n\omega}$, $p = \sqrt{E}$. Волновая функция (2) соответствует одной волне, падающей на барьер слева. (В конечных формулах будем помечать индексами « \rightarrow » и « \leftarrow » решения для задач с волной, падающей соответственно слева и справа.) Величины t_n и r_n дают амплитуды прохождения (отражения) с поглощением (при $n > 0$) или излучением (при $n < 0$) n квантов переменного поля, t_0 определяет амплитуду упругого процесса. Если величина p_n становится мнимой, то волны, уходящие от барьера, нужно считать затухающими. Это означает, что $\text{Im } p_n > 0$.

Из уравнения Шредингера с потенциалом (1) следуют граничные условия для волновой функции при $x = \pm d$:

$$\psi|_{\pm d} = 0, \quad \psi'|_{\mp d} = 2m[u_{1,2} + v_{1,2}(t)]\psi. \quad (3)$$

Подстановка волновой функции в граничные усло-

вия приводит к системе уравнений (падение слева)

$$\begin{aligned} \delta_{n,0} \exp(-ip_n) + r_n \exp(ip_n) - a_n \exp(-ip_n) - \\ - b_n \exp(ip_n) = 0, \\ \delta_{n,0} \exp(-ip_n) - r_n \exp(ip_n) - a_n \exp(-ip_n) + \\ + b_n \exp(ip_n) = \frac{2iu_1}{p_n} \times \\ \times [\delta_{n,0} \exp(-ip_n) + r_n \exp(ip_n)] + \\ + \frac{v_1}{p_n} [\delta_{n+1,0} \exp(-ip_{n+1}) + r_{n+1} \exp(ip_{n+1}) - \\ - \delta_{n-1,0} \exp(-ip_{n-1}) - r_{n-1} \exp(ip_{n-1})], \\ a_n \exp(ip_n) + b_n \exp(-ip_n) - t_n \exp(ip_n) = 0, \\ a_n \exp(ip_n) - b_n \exp(-ip_n) - t_n \exp(ip_n) = \\ = \frac{2iu_2}{p_n} t_n \exp(ip_n) + \frac{v_2}{p_n} [t_{n+1} \exp(ip_{n+1} + i\varphi) - \\ - t_{n-1} \exp(ip_{n-1} - i\varphi)]. \end{aligned} \quad (4)$$

Разрешая систему (4) относительно $t_n = \exp(-i(p + p_n))T_n$, получаем

$$\begin{aligned} v_1 v_2 g_{n-1} e^{-i\varphi} T_{n-2}^{\rightarrow} - i(v_1 S_{n-1} + v_2 V_n e^{-i\varphi}) T_{n-1}^{\rightarrow} - \\ - \left[2W_n + v_1 v_2 (g_{n-1} e^{i\varphi} + g_{n+1} e^{-i\varphi}) \right] T_n^{\rightarrow} + \\ + i(v_1 S_{n+1} + v_2 V_n e^{i\varphi}) T_{n+1}^{\rightarrow} + v_1 v_2 g_{n+1} e^{i\varphi} T_{n+2}^{\rightarrow} = \\ = 2ip\delta_{n,0}. \end{aligned} \quad (5)$$

Здесь $g_n = \sin 2p_n/p_n$,

$$\begin{aligned} S_n &= 2u_2 g_n + \exp(-2ip_n), \\ V_n &= 2u_1 g_n + \exp(-2ip_n), \end{aligned} \quad (6)$$

$$W_n = 2u_1 u_2 g_n + (u_1 + u_2 - ip_n) \exp(-2ip_n). \quad (7)$$

Уравнение для коэффициента прохождения T_n^{\leftarrow} при падении волны справа имеет вид

$$\begin{aligned} v_1 v_2 g_{n-1} e^{-i\varphi} T_{n-2}^{\leftarrow} - i(v_1 S_n + v_2 V_{n-1} e^{-i\varphi}) T_{n-1}^{\leftarrow} - \\ - \left[2W_n + v_1 v_2 (g_{n-1} e^{-i\varphi} + g_{n+1} e^{i\varphi}) \right] T_n^{\leftarrow} + \\ + i(v_1 S_n + v_2 V_{n+1} e^{i\varphi}) T_{n+1}^{\leftarrow} + v_1 v_2 g_{n+1} e^{i\varphi} T_{n+2}^{\leftarrow} = \\ = 2ip\delta_{n,0}. \end{aligned} \quad (8)$$

При условии, что электроны справа и слева от контакта равновесны и имеют одинаковые химические потенциалы, постоянный ток можно выразить через коэффициенты прохождения:

$$J = \frac{e}{\pi\hbar} \int dE \sum_n (|T_n^{\rightarrow}|^2 - |T_n^{\leftarrow}|^2) f(E) \theta(E + n\omega), \quad (9)$$

где $f(E)$ — фермиевская функция распределения, $\theta(x)$ — функция Хевисайда.

При низкой температуре величину тока удобно продифференцировать по химическому потенциалу μ :

$$\begin{aligned} \mathcal{G} &= e \frac{\partial J}{\partial \mu} = \\ &= G_0 \sum_n \theta(\mu + n\omega) (|T_n^{\rightarrow}|^2 - |T_n^{\leftarrow}|^2)_{p=p_F}. \end{aligned} \quad (10)$$

Здесь $G_0 = 2e^2/h$ — квант кондактанса, h — постоянная Планка, p_F — импульс Ферми. Получившаяся величина \mathcal{G} имеет размерность кондактанса. Ее можно трактовать как двухтерминальный фотокондактанс (кондактанс при одновременном изменении напряжения на обоих контактах).

3. СИММЕТРИЙНЫЕ ТОЖДЕСТВА

Исходный потенциал (1) имеет симметрию относительно изменения знака координаты с одновременной заменой $u_1, v_1 \leftrightarrow u_2, v_2$ и $\varphi \leftrightarrow -\varphi$ и со сдвигом по времени на $-\varphi/\omega$. Поскольку амплитуда переменного поля во времени не меняется, коэффициенты прохождения и стационарный отклик должны обладать аналогичной симметрией, т. е. коэффициенты прохождения справа, $|T_n^{\leftarrow}|^2$, и слева, $|T_n^{\rightarrow}|^2$, должны превращаться друг в друга при одновременной замене $u_1, v_1 \leftrightarrow u_2, v_2$ и $\varphi \leftrightarrow -\varphi$. Действительно, из уравнений (5), (8) следует, что $T_n^{\rightarrow} \rightarrow T_n^{\leftarrow} \exp(in\varphi)$.

Обратимость времени диктует симметрию волновой функции $\psi_p(x, t)$, соответствующей падающей (уходящей) волне с импульсом p :

$$\psi_p(x, t)|_{v_1(t), v_2(t)} = \psi_{-p}^*(x, -t)|_{v_1(-t), v_2(-t)}.$$

Это приводит к следующему соотношению между матрицами прохождения справа и слева для прямого и обращенного по времени переменных сигналов:

$$\begin{aligned} p &\rightarrow -p, \quad T \rightarrow T^*, \\ v_1(t) &\rightarrow v_1(-t), \quad v_2(t) \rightarrow v_2(-t). \end{aligned}$$

В отсутствие переменного сигнала при прохождении величина p сохраняется и вероятности прохождения слева и справа совпадают. Возбуждение одной δ -функцией ($v_2 = 0$) с гармоническим сигналом является четным по времени и, следовательно, сохраняет это свойство симметрии для канала перехода без изменения энергии, $n = 0$. То же справедливо и при синхронных сигналах. Однако при наличии сдвига фаз канал перехода без изменения энергии оказывается уже несимметричным. В рамках теории возмущений по внешнему сигналу это означает, что поправка к вероятности прохождения с сохранением энергии (асимметричная) начинается со слагаемого, пропорционального $v_1 v_2$.

4. ТЕОРИЯ ВОЗМУЩЕНИЙ. РЕЖИМ МАЛОГО ПЕРЕМЕННОГО СИГНАЛА

Рассмотрим предел $v_1, v_2 \ll u_1, u_2$. Статическая задача дает амплитуду прохождения

$$\begin{aligned} T_0 &= -\frac{ip}{W_0} = \\ &= -\frac{ip^2}{2u_1 u_2 \sin 2p + (u_1 + u_2 - ip)p e^{-2ip}}, \\ T_n|_{n \neq 0} &= 0. \end{aligned} \quad (11)$$

Амплитуда рассеяния обращается в нуль при $p \rightarrow 0$, а также испытывает осцилляции с периодом $\delta p = \pi/2$. При больших значениях $u_{1,2}$ величина T_0 имеет полюсы вблизи точек $p = \pi n/2$.

В нулевом порядке теории возмущений коэффициенты прохождения в прямом и обратном направлениях совпадают, поэтому ток обращается в нуль. Ток возникает только во втором порядке теории возмущений. Поправки второго порядка к току дают только величины T_0 , T_1 и T_{-1} . Разлагая по переменному сигналу, получаем

$$\begin{aligned} \mathcal{G} = G_0 \frac{p^2}{4|W_0|^2} & \left[v_1^2 \left(\frac{|S_0|^2 - |S_{-1}|^2}{|W_{-1}|^2} \theta(\mu - \omega) + \right. \right. \\ & + \frac{|S_0|^2 - |S_1|^2}{|W_1|^2} \left. \right) - \\ & - v_2^2 \left(\frac{|V_0|^2 - |V_{-1}|^2}{|W_{-1}|^2} \theta(\mu - \omega) + \frac{|V_0|^2 - |V_1|^2}{|W_1|^2} \right) + \\ & + 2v_1 v_2 \operatorname{Re} \left(\frac{S_0 V_{-1}^* - S_{-1} V_0^*}{|W_{-1}|^2} e^{-i\varphi} \theta(\mu - \omega) + \right. \\ & + \frac{S_0 V_1^* - S_1 V_0^*}{|W_1|^2} e^{i\varphi} \left. \right) + \\ & + 4v_1 v_2 \sin \varphi \operatorname{Im} \left(\frac{S_0 V_0 - S_{-1} V_{-1}}{W_0 W_{-1}} - \frac{S_0 V_0 - S_1 V_1}{W_0 W_1} + \right. \\ & \left. \left. + 2 \frac{g_{-1} - g_1}{W_0} \right) \right]_{p=p_F}. \quad (12) \end{aligned}$$

В частном случае, когда $u_1 = u_2$, функции S_n и V_n совпадают и выражение (12) принимает вид

$$\begin{aligned} \mathcal{G} = G_0 \frac{p^2}{4|W_0|^2} & \left\{ (v_1^2 - v_2^2) \times \right. \\ & \times \left(\frac{|S_0|^2 - |S_{-1}|^2}{|W_{-1}|^2} \theta(\mu - \omega) + \frac{|S_0|^2 - |S_1|^2}{|W_1|^2} \right) - \\ & - 4v_1 v_2 \sin \varphi \operatorname{Im} \left[\frac{S_0 S_{-1}^*}{|W_{-1}|^2} \theta(\mu - \omega) - \frac{S_0 S_1^*}{|W_1|^2} + \right. \\ & \left. \left. + \frac{S_0^2 - 1}{W_0} \left(\frac{1}{W_{-1}} - \frac{1}{W_1} \right) \right] \right\}_{p=p_F}. \quad (13) \end{aligned}$$

Ток определяется поправками $T_{\pm 1}$, связанными с реальными процессами испускания (поглощения) одного фотона. Кроме того, имеется поправка и к T_0 , обусловленная влиянием виртуального однофотонного процесса на безызлучательный канал. Помимо квадратов переменных сигналов v_1 и v_2 , в режиме $u_1 = u_2$ в ответ входит билинейная комбинация, поэтому недостаточно рассмотреть отклики только на одном из них. Последний вклад чувствителен к относительной фазе сигналов.

Если $u_1 = u_2 = 0$, то из уравнения (13) получаем

$$\mathcal{G} = -G_0 v_1 v_2 \sin \varphi \times$$

$$\begin{aligned} & \times \left[\frac{\sin 2(p - p_{-1})}{p_{-1}^2} \theta(\mu - \omega) + \frac{\sin 2(p_1 - p)}{p_1^2} + \right. \\ & \left. + \frac{2 \sin 2p}{p} \left(\frac{\cos 2p_{-1}}{p_{-1}} \theta(\mu - \omega) - \frac{\cos 2p_1}{p_1} \right) \right]_{p=p_F}. \quad (14) \end{aligned}$$

Выражение (14) обращается в бесконечность при $p_{-1} = 0$ (на пороге испускания одного фотона). Эта особенность объясняется резонансом с состоянием электрона с нулевой энергией: такое «неподвижное» состояние можно трактовать как связанное.

Помимо указанных осцилляций с периодом $\delta p = \pi/2$, амплитуда прохождения испытывает осцилляции с периодами $\delta p_{\pm 1} = \pi/2$. Экстремумы в зависимости тока от p , как видно из выражения (12), расположены вблизи точек минимума функций W_0 и $W_{\pm 1}$ и связаны соответственно с упругим процессом и процессом с поглощением или испусканием кванта поля. В случае, когда $v_2 = 0$ ($v_1 = 0$), в выражении для тока остается член, пропорциональный v_1^2 (v_2^2).

При $u_1, u_2 \gg p$ осцилляции превращаются в острые пики, соответствующие резонансам прохождения. При $p \sim 1$ амплитуда прохождения имеет характерный масштаб $p \sim u_1, u_2$. Соответствующая структура при малых u_1 и u_2 может рассматриваться как резонанс на нулевой энергии. При отрицательных u_1 и u_2 имеются резонансы на связанных состояниях (одном или двух в зависимости от расстояния между ямами).

5. АНАЛИЗ ПОВЕДЕНИЯ ВЕЛИЧИНЫ \mathcal{G} ВБЛИЗИ ОСОБЕННОСТЕЙ

Особенности величины \mathcal{G} можно классифицировать по их происхождению от электронного спектра: 1) резонансы, связанные с дискретными состояниями системы в отсутствие переменного поля; 2) резонансы, связанные с квазистационарными состояниями; 3) пороговые особенности, связанные с нулевой энергией. Наличие высокочастотного поля приводит к тому, что эти особенности получают фотонные повторения с энергиями, отстоящими от исходных на величины, кратные частоте переменного поля. В слабом переменном поле фотонные повторения оказываются тем слабее, чем выше их кратность. Стационарные состояния лежат в области отрицательных энергий и поэтому проявляются в зависи-

ности $\mathcal{G}(p_F)$ только за счет своих фотонных повторений. Квазистационарные состояния проявляются при $|u_i| \gg 1$ или $v_i \gg 1$, когда δ -функции способны «запирать» электроны. При этом электроны запираются как барьерами, так и ямами, а также и переменным потенциалом.

В рамках теории возмущений особенности возникают из-за нулей функций W_0 , W_1 и W_{-1} . Точное обращение в нуль возможно только для функции W_{-1} при энергии, отстоящей от связанного состояния на ω . Приближенное обращение в нуль возможно на квазистационарных состояниях и их первых фотонных повторениях. На пороге $p \rightarrow 0$ числитель выражения (12) обращается в нуль, давая слабую особенность в \mathcal{G} .

Особым случаем является предел $u_1 = u_2 = 0$, когда при $p \rightarrow 0$ нуль функции W_0 компенсируется числителем выражения (12), в результате чего $\mathcal{G} \rightarrow \text{const}$. Однако обращение величины \mathcal{G} в нуль восстанавливается учетом конечности переменного возмущения, выходящим за рамки теории возмущений. Вблизи импульса $\sqrt{\omega}$ величина W_{-1} обращается в нуль, что, в отличие от нуля функции W_0 , приводит к полюсу \mathcal{G} . Обращение \mathcal{G} в бесконечность также лимитируется конечностью амплитуды переменного возмущения.

Для конечных u_1 и u_2 особенность величины \mathcal{G} в точке $p_{-1} = 0$, связанная с порогом испускания кванта, является скачком. Если $u_1 = u_2 = 0$, а $v_1, v_2 \rightarrow 0$, скачок превращается в полюсную особенность. Значение на пороге ограничено величиной $1/v_1 v_2$.

Рассмотрим механизм возникновения и ограничения однофотонного повторения резонанса. Пусть E_0 — некоторый уровень стационарной системы (возможно, комплексный — квазистационарный). Такой подход применим к случаю резонанса на нулевой энергии ($E_0 = 0$) или на стационарном состоянии ($E_0 < 0$). Тогда в n -ом уравнении (12) коэффициент при T_n обращается в нуль в точке $p_n^2 = E_0$. Конечное, но малое переменное поле сдвигает этот нуль в комплексной плоскости на величину, пропорциональную второй степени возмущения. При малом возмущении в нерезонансных условиях самой большой оказывается величина T_0 , а все остальные T_n убывают по степеням возмущения. Пусть $p_{-1}^2 \rightarrow E_0$. Поскольку коэффициент при T_{-1} в уравнении (5) с $n = -1$ мал, сама величина T_{-1} должна быть велика и в уравнении с $n = 0$ нужно учитывать слагаемое с T_{-1} . В то же время в общем случае все остальные величины T_n можно считать малыми. Используя это обстоятельство, из всей системы можно оставить два уравнения:

$$\begin{aligned} T_0 + \beta T_{-1} &= \alpha, \\ (p_{-1} - \sqrt{E_0} + \eta) T_{-1} + \gamma T_0 &= 0, \end{aligned} \quad (15)$$

где коэффициент α не зависит от переменного возмущения, коэффициент η квадратичен по нему, а коэффициенты γ и β линейны. Из уравнений (15) следует решение

$$\begin{aligned} T_0 &= \alpha \frac{p_{-1} - \sqrt{E_0} + \eta}{p_{-1} - \sqrt{E_0} + \eta - \gamma\beta}, \\ T_{-1} &= -\frac{\alpha\gamma}{p_{-1} - \sqrt{E_0} + \eta - \gamma\beta}. \end{aligned} \quad (16)$$

Выражения (16) содержат резкую зависимость в окрестности особенности. Переменное поле приводит к дополнительному уширению резонанса, квадратичному по возмущению. Если исходного уширения не было, то переменное поле приводит к его возникновению. По такому же механизму возникает и уширяется однофотонный резонанс с $n = 1$.

Если $|n| > 1$, то многофотонный резонанс возникает при учете зацепленных уравнений с номерами, лежащими между нулем и n . Результирующий резонансный вклад имеет малость возмущения в степени n .

Входящие в выражения (16) константы зависят от амплитуд и фаз переменных полей, что влияет на положение и ширину резонанса. В частном случае резонанса на нулевой энергии при $u_1 = u_2 = 0$ в окрестности точки $p_{-1} = 0$ выше порога из (16) получаем

$$\mathcal{G} = G_0 \theta(\mu - \omega) \left\{ \frac{\eta(\varphi)}{[p_{-1} + \xi(\varphi)]^2 + \zeta^2(\varphi)} - \frac{\eta(-\varphi)}{[p_{-1} + \xi(-\varphi)]^2 + \zeta^2(-\varphi)} \right\}_{p=p_F}, \quad (17)$$

где

$$\begin{aligned} \eta(\varphi) &= \frac{1}{4} [v_1^2 + v_2^2 + 2v_1 v_2 \cos(2\sqrt{\omega} + \varphi)], \\ \zeta(\varphi) &= \frac{v_1 v_2}{2\sqrt{\omega}} \cos \varphi (\sin 2\sqrt{\omega} + \sinh 2\sqrt{\omega}), \\ \xi(\varphi) &= \frac{1}{4\sqrt{\omega}} [v_1^2 + v_2^2 + 2v_1 v_2 \times \\ &\quad \times (\cos \varphi \cos 2\sqrt{\omega} - \sin \varphi \sinh 2\sqrt{\omega})]. \end{aligned} \quad (18)$$

При $p_{-1} \rightarrow \infty$ выражение (17) обратно пропорционально p_{-1}^2 . Ниже порога особенность отсутствует. Отметим, что это поведение влечет за собой логарифмическую особенность в токе, $J \propto G_0 \ln(\mu - \omega)/\Delta$, которая устраняется учетом конечности переменного поля. Возникающее

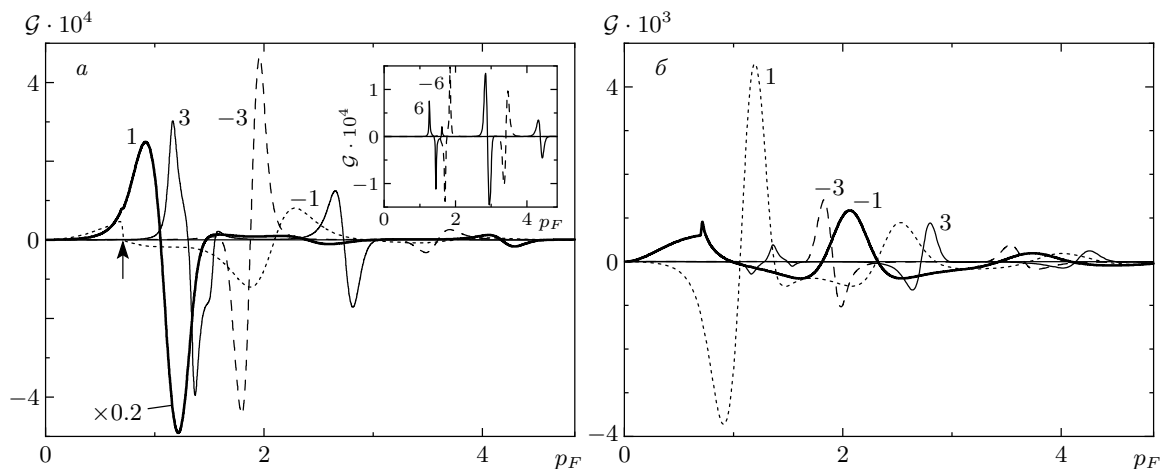


Рис. 2. Зависимость \mathcal{G} от импульса Ферми в симметричной структуре $u_1 = u_2$ в пределе слабого переменного сигнала: *а* — $v_2 = 0$, $v_1 = 0.1$, частота $\omega = 0.5$; *б* — $v_1 = v_2 = 0.1$, фаза $\varphi = \pi/2$. Цифры около кривых — значения величин $u_1 = u_2$. Стрелкой отмечен резонанс $p_{-1} = 0$, $p_F = \sqrt{0.5}$

обрезание логарифма Δ существенно зависит от амплитуды и фазы переменных полей. Согласно выражениям (17) и (18), уширение резонанса пропорционально второй степени переменного поля. Однако при $\varphi = \pi/2, 3\pi/2$ ширина резонанса $\zeta(\varphi)$ обращается в нуль. На самом деле это свидетельствует о том, что ширина имеет более высокий порядок по v_1, v_2 , выходящий за рамки использованного приближения.

6. ЧИСЛЕННЫЕ РЕЗУЛЬТАТЫ. СЛАБОЕ ПЕРЕМЕННОЕ ПОЛЕ

На рис. 2 представлены зависимости величины \mathcal{G} от импульса Ферми при $u_1 = u_2$ при наличии одного, $v_2 = 0$ (рис. 2*а*) или двух, $v_1 = v_2$, $\varphi = \pi/2$ (рис. 2*б*), переменных сигналов. Такая система в отсутствие переменного сигнала является симметричной. Различные кривые соответствуют различным значениям коэффициентов при δ -функциях. В пределе $u_1, u_2 \rightarrow \infty$ кривые превращаются в систему антисимметричных фано-резонансов на импульсах, соответствующих квазистационарным уровням (см. вставку к рис. 2*а*). Асимметрия возникает из-за того, что квазистационарные состояния выступают в роли промежуточных для составной амплитуды перехода.

Зависимость величины \mathcal{G} от импульса Ферми при возбуждении тока двумя сферизированными сигналами (рис. 2*б*) оказывается другой, чем при одном (рис. 2*а*), что свидетельствует об интерференцион-

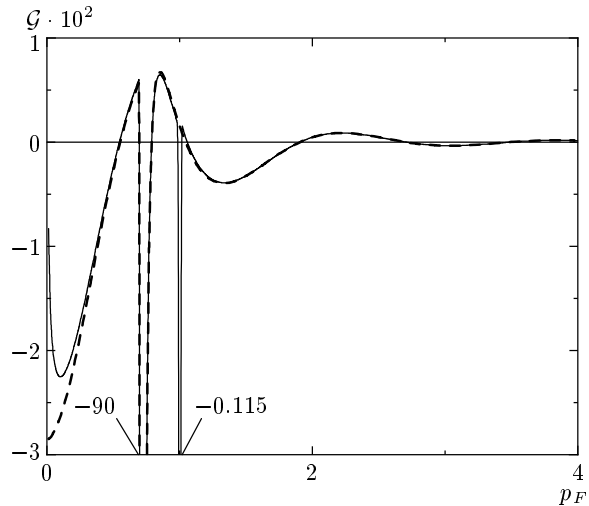


Рис. 3. То же, что и на рис. 2*б*, при $u_1 = u_2 = 0$. Сплошная линия — численный результат, штрихи — результат, полученный по теории возмущений. Значения \mathcal{G} в минимумах, не поместившиеся на рисунке, указаны на графиках

ном фазово-чувствительном характере эффекта. В частности, при больших значениях u_1 и u_2 резонансы на квазистационарных уровнях становятся симметричными.

Отдельно следует остановиться на случае отсутствия статических барьеров $u_1 = u_2 = 0$. Ток в этом случае возникает только при одновременном присутствии сигналов v_1 и v_2 (рис. 3). При малых значениях v_1 и v_2 поведение в основном совпадает с ре-

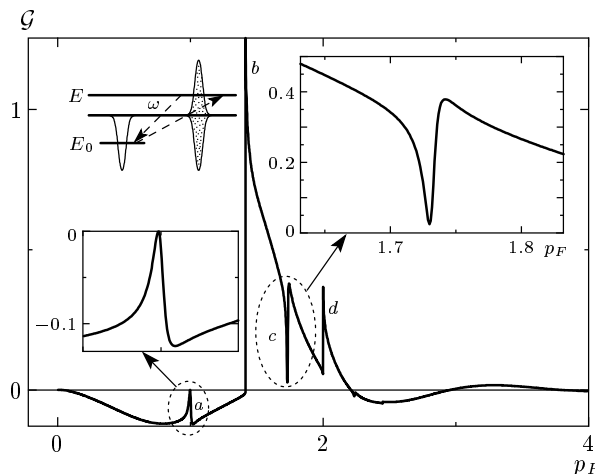


Рис. 4. Величина \mathcal{G} в приведенной на вставке структуре с одночной квантовой ямой и колеблющимся барьером (ямой). Рисунок иллюстрирует возникновение однофотонных (*a*) и двухфотонных (*c*) резонансов на локализованном уровне E_0 . Использованы значения параметров $u_1 = -1$, $v_1 = 0$, $u_2 = 0$, $v_2 = 1$, $\omega = 2$. Вставки в рамках детализируют окрестности резонансов *a* и *c*. Буквами *b* и *d* обозначены одно- и двухфотонные резонансы с нулевой энергией ($E = \omega$, $E = 2\omega$)

зультатом теории возмущений. Резонанс на нулевой энергии становится очень узким и глубоким. Нелинейные поправки сказываются в области малых импульсов, где они приводят к обращению величины \mathcal{G} в нуль, а также к ограничению резонансного минимума и возникновению двухфотонного резонанса в точке $p_{-2} = 0$. Амплитуда однофотонного резонанса, как можно увидеть из рис. 3, оказывается велика (пропорциональна $1/v_1 v_2$), а двухфотонного — конечна в согласии с дальнейшим анализом.

На рис. 4 представлены результаты расчета величины \mathcal{G} для одночной квантовой ямы ($u_1 = -1$), вблизи которой помещен возбуждающий электрод ($v_1 = 0$, $v_2 = 1$). Такая система в отсутствие переменного сигнала симметрична, симметрию нарушает расположение второго электрода. В отличие от структуры с барьерами, в этой задаче возникают одно- и двухфотонные резонансы, $E = \omega + E_0$ и $E = 2\omega + E_0$, связанные с локализованным состоянием $E_0 = -1$. В согласии с уравнением (16), в резонансах величина \mathcal{G} приближается к нулю (в однофотонном случае она равна нулю). Значение в двухфотонном минимуме оказывается пропорциональным v_2^2 . Малое значение в минимуме в изображенном случае обусловлено слабым перекрытием потенциала и

волновой функции связанного состояния.

Разберем подробнее механизм возникновения резонанса на нулевой энергии (рис. 4). Электрон, летящий справа, проходит через статическую δ -функцию и затем взаимодействует с переменным потенциалом. Если его энергия равна ω , то, испустив фотон, он окажется на дне зоны. Этот процесс имеет большую вероятность, поскольку плотность состояний на дне зоны обращается в бесконечность. После этого он уже, как правило, не сможет вернуться назад. Но и электрон, налетающий справа, по той же причине вернется направо. Таким образом, ток будет течь справа налево, чему соответствует рис. 4.

Рисунок 5 a демонстрирует изменение тока при $u_1 = u_2$, $v_2 = 0$ с частотой переменного сигнала $0.1 \leq \omega \leq 10$. Выбран случай системы с довольно большими барьерами. Резкие резонансы соответствуют точкам $p_F = \pi n/2$ (положение не меняется с частотой) и их фотонным повторениям при $p_F = \sqrt{\pi^2 n^2/4 \pm \omega}$ (смещаются с частотой вправо и влево).

На рис. 5 b показано изменение величины \mathcal{G} в несимметричной системе ($u_1 = 3$, $v_1 = 0.1$, $u_2 = 1$, $v_2 = 0$). Видно, что в зависимости от частоты резонансы приобретают то симметричную, то асимметричную форму.

7. НЕЛИНЕЙНЫЙ РЕЖИМ РАБОТЫ КВАНТОВОГО НАСОСА

На рис. 6 представлены результаты расчета величины \mathcal{G} в отсутствие статического потенциала при большой (одинаковой) амплитуде переменных сигналов. С увеличением амплитуды сигнала зависимость величины \mathcal{G} от импульса Ферми усложняется. Появляются резонансы высокого порядка, соответствующие $E = j\omega$ или $E = \pi^2 n^2/4 \pm j\omega$ ($j = 1, 2, \dots$).

В пределе очень больших сигналов зависимость становится универсальной. В этом можно убедиться исходя из системы уравнений (5): при больших значениях величины v_1 и v_2 входят в амплитуды прохождения мультипликативно, $T_n \propto (v_1 v_2)^{-1}$ в области $p^2 \ll v_1 v_2$, а вне этой области действует теория возмущений и $T_n \propto (v_1 v_2)^{-n}$.

8. ОБСУЖДЕНИЕ

Обсудим отличие квантового насоса от фотогальванического эффекта. Последний обычно рассматривается в пределе слабого электромагнитного поля

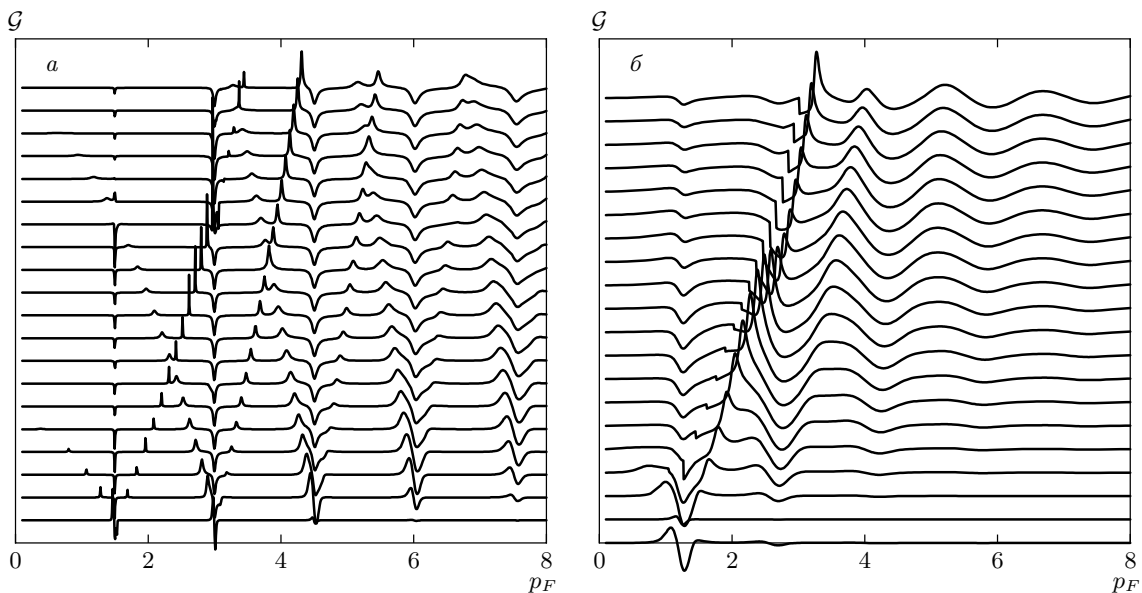


Рис.5. Изменение величины \mathcal{G} с частотой переменного сигнала $0.1 \leq \omega \leq 10$ при $u_1 = u_2 = 10$, $v_1 = 0.1$, $v_2 = 0$ (а) и $u_1 = 3$, $u_2 = 1$, $v_1 = 0.1$, $v_2 = 0$ (б). Кривые смещены относительно друг друга вдоль вертикальной оси на постоянное расстояние. Частота увеличивается снизу вверх

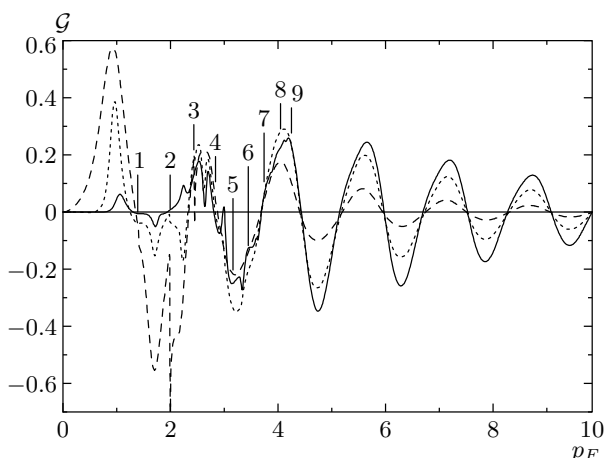


Рис.6. Нелинейный режим работы насоса. Симметричный случай: $u_1 = u_2 = 1$, $v_1 = v_2 = 2$ (штриховая кривая), 4 (точечная), 6 (сплошная); $\varphi = \pi/2$, $\omega = 2$. Отмечены положения резонансов $p = \sqrt{n\omega}$, $n = 1, \dots, 9$

(за исключением, в частности, работы [2], посвященной чисто классическому пределу). В случае квантовых частот механизм фотогальванического эффекта состоит в поглощении световых квантов с анизотропным возбуждением электронов. В процессе релаксации индуцированные оптические переходы играют второстепенную роль по сравнению с безызлучатель-

ными процессами, а также с некогерентными оптическими процессами. В работе насоса даже в пределе слабого сигнала электромагнитное поле считается классическим, поэтому поправки к вероятности перехода включают в себя не только поглощение, но и вынужденное испускание, а также полевую поправку к упругой части вероятности перехода. Помимо этого, если поле не является слабым, вероятность перехода содержит вклады, обусловленные излучением (поглощением) любого числа фотонов.

Другое отличие насоса от фотогальванического эффекта состоит в локальности приложенного переменного сигнала. Важным определяющим свойством фотогальванического эффекта является однородность переменного поля и однородность самой системы. Ток, возникающий под действием неоднородного электромагнитного поля, связан с передачей электронам импульса от волны, т. е. с эффектом фотонного увлечения. В исходно неоднородной системе ток порождается диффузией между областями с разными концентрациями электронов. В насосе воздействие переменного сигнала проявляется на расстояниях, соизмеримых с длиной волны электрона, малых по сравнению с длинами пробега и, тем более, с диффузионными. Это позволяет независимо манипулировать приложенными в разных местах переменными сигналами.

В задаче о выпрямлении в микроконтакте пере-

менное напряжение прилагается между «морями». В то же время в рассматриваемой постановке переменные сигналы приложены непосредственно к барьерам. В такой задаче в пределе нулевой частоты постоянный ток $J|_{\omega \rightarrow 0}$ вообще не может возникать из-за упомянутой ранее обратимости статической вероятности прохождения. Это отличает насос от выпрямления на микроконтакте.

Работа была поддержана РFFИ (гранты №№ 02-02-16388, 04-02-16398) и Программой поддержки научных школ РФ (грант № НШ-593.2003.2).

ЛИТЕРАТУРА

1. В. И. Белиничер, Б. И. Стурман, УФН **130**, 415 (1980).
2. М. Д. Блох, Л. И. Магарилл, М. В. Энтин, ФТП **12**, 249 (1978).
3. Э. М. Баскин, Л. И. Магарилл, М. В. Энтин, ФТТ **20**, 2432 (1978).
4. Е. Л. Ивченко, Г. Е. Пикус, Письма в ЖЭТФ **27**, 640 (1978).
5. D. J. Thouless, Phys. Rev. B **27**, 6083 (1983).
6. M. Moskalets and M. Büttiker, Phys. Rev. B **68**, R161311 (2003).
7. J. E. Avron, A. Elgart, G. M. Graf, and L. Sadun, Phys. Rev. B **62**, R10618 (2000).
8. J. E. Avron, A. Elgart, G. M. Graf, and L. Sadun, Phys. Rev. Lett. **87**, 236601 (2001).
9. O. Entin-Wohlman and Amnon Aharony, Phys. Rev. B **65**, 195411 (2002).
10. Doron Cohen, Phys. Rev. B **68**, 155303 (2003).
11. Huan-Qiang Zhou, Sam Young Cho, and Ross H. McKenzie, Phys. Rev. Lett. **91**, 186803 (2003).
12. M. Moskalets and M. Büttiker, Phys. Rev. B **66**, 205320 (2002).
13. F. Rengozi and T. Brandes, Phys. Rev. B **64**, 2045301 (2001).
14. Shi-Liang Zhu and Z. D. Wang, Phys. Rev. B **65**, 155313 (2002).
15. C. S. Tang and C. S. Chu, Sol. St. Comm. **120** 353 (2001).
16. Baigeng Wang, Jian Wang, and Hong Guo, Phys. Rev. B **68**, 155326 (2003).
17. M. Switkes, C. M. Marcus, K. Campman, and A. C. Gossard, Science **283**, 1905 (1999).
18. T. Altebaeumer, H. Ahmed, Jpn. J. Appl. Phys. pt. I, **41**, Iss 4B, 2694 (2002).
19. Y. Ono and Y. Takahashi, Appl. Phys. Lett. **82**, 1221 (2003).
20. S. V. Lotkhov, S. A. Bogoslovsky, A. B. Zorin, and J. Niemeyer, Appl. Phys. Lett. **78**, 946 (2001).
21. R. D. Astumian, Phys. Rev. Lett. **91**, 118102 (2003).
22. S. W. Kim, Phys. Rev. B **66**, 235304 (2002).